

VŠST Liberec

Fakulta textilní

Studie výskytu vnějších  
vad na tkanině

Katedra MV

DP 1

Diplomová práce

Autor: Jana Konečná

Škola: Vysoká škola strojní a textilní v Liberci

Fakulta: Textilní

Katedra: Textilních materiálů a výrobků

Vedoucí dipl.práce: Prof.Ing.Dr.techn.RNDr.J.Čirlič,DrSc

Konzultant: Ing.J.Černý CSc

Počet stran: 64

V Liberci 3.7.1973

Vysoká škola: strojní a textilní  
Fakulta: textilní

Katedra: textilních materiálů a výrobků  
Školní rok: 1972/73

## DIPLOMOVÝ ÚKOL

pro : Jana Konečná  
obor : textilní materiály - oděvnictví

Protože jste splnila požadavky učebního plánu, zadává Vám vedoucí katedry ve smyslu směrnic ministerstva školství o státních závěrečných zkouškách tento diplomový úkol:

Název tématu: Proveďte studii výskytu četnosti vnějších vad na tkanině druhu Jonel a Jerome z výrobního programu n. p. Textilana

### Pokyny pro vypracování:

1. Charakterizujte a klasifikujte vnější vady v souvislosti se zkoušenými tkaninami;
2. Proveďte teoretický a experimentální rozbor četnosti počtu vnějších vad připadajících na kus tkaniny;
3. Proveďte teoretický a experimentální rozbor četnosti vzájemné vzdálenosti mezi vnějšími vadami u zkoumaných tkanin;
4. Naznačte aplikační možnosti dosažených výsledků v oblasti konfekčního průmyslu.

Autoru této práce se řídí směrnicemi MŠK pro státní závěrečné zkoušky č. j. 31-727/62-III/2 ze dne 13. července 1962-Vestavě MŠK ŘM, tel. 212 za dne 31.8.1962 § 19 zákoněk zákona č 115/63 Sb.

VYSOKÁ ŠKOLA STROJNÍ A TEXTILNÍ  
Ustřední knihovna  
LIBEREC I STUDENTSKÁ 5

V 32/1973

VŠST Liberec	Studie výskytu vnějších vad na tkanině	Katedra MV DP 4
Fakulta textilní		

1. Úvod
2. Seznam použitých symbolů
3. Teoretická část
  - 3.0.0. Úvod
  - 3.0.1. Teoretická část funkce rozdělení
  - 3.0.2. Zvláštnosti parametru pro praxi
  - 3.0.3. Srovnání teoretického odvození s výsledky dodávky tkanin
  - 3.0.4. Odhad podílu bezchybných poloh
  - 3.1.0. Dovolený počet vad u různých tkanin
    - 3.1.1. Označování chyb ve tkaninách
    - 3.1.2. Technické požadavky
    - 3.1.3. Třídění tkanin podle jakosti
4. Experimentální část
  - 4.0.0. Úvod
  - 4.0.1. Metodika měření
  - 4.0.2. Vlastní měření - výpočet
5. Závěr
6. Seznam použité literatury

## 1. Úvod

Výroba textilií je jedno z nejstarších odvětví lidské činnosti. Původně měly textilie význam jen jako ochrana proti povětrnostním vlivům. Záhy se však začaly uplatňovat jako předměty dekorační a v neposlední řadě i plnit estetickou funkci v odívání.

Se vzrůstající životní úrovni stoupaly i nároky na textilní výrobky a to jak na kvalitu, tak i na kvantitu. Byly nalézány nové zdroje surovin. Rozšiřovalo se množství přírodních materiálů, které se dříve nepoužívaly. Později nabývá velkého významu rozvoj výroby chem.vláken.

Dnes existuje jiný pohled na oděvní výrobky. Zatím co dříve se klade důraz na jejich trvanlivost, dnes je situace poněkud odlišná. Člověk dnešních dnů má k dispozici větší množství finančních prostředků. Z toho vyplývá ta skutečnost, že si může dovolit koupit věci, které nemusí používat celý život, ale naopak, během času je vyměňovat. Z tohoto důvodu se již nepřikládá takový význam trvanlivosti materiálu, ale více se hledí na estetický vzhled výrobků. Aby se mohl takový výrobek vyrobit, je nutno k tomu použít kvalitního materiálu, jehož jakost je určována již jakostní surovinou. Ani při výrobě tkaniny se prozatím nelze vyvarovat chyb, které působí nepříznivě na vzhled výrobků. Některé vadu ve tkanině se s úspěchem dají odstranit /např. vyšíváním/, stále však zde zůstane určitý počet vad, který se nedá odstranit a musí se na tkanině viditelně označit.

Množství těchto chyb na určité délce kusu má význam při pokládání střihů v oděvní výrobě. S ohledem na vadný materiál se nedá očekávat plné využití délky kusu na kvalitní oděv. Proto je zde snažba o zjištění četnosti výskytu vnějších vad na tkanině a využití tohoto poznatku při stříhání v oděvním průmyslu.

Pravděpodobnost výskytu chyb na délce kusu tkaniny se řídí statistickými zákony. Tato práce má za úkol ověřit hypotézu, že se pravděpodobnost výskytu chyb řídí exponenciálním a Poiss.rozdělením.

## 2. Seznam použitých symbolů

- $n_j$  = absolutní četnost měření v j-tém intervalu
- $n$  = celkový počet chyb ve tkanině
- $n_{tj}$  = teoretická četnost
- $f/L_j/$  = frekvenční funkce exponenciálního zákona
- $f_j$  = relativní četnost
- $F_j$  = relativní součtová četnost
- $L_j$  = délka tkaniny v j-tém intervalu
- $L_{jd}$  = dolní hranice j-tého intervalu
- $L_{jh}$  = horní hranice j-tého intervalu
- $G/l/$  = pravděpodobnostní funkce
- $\mu$  = průměrný počet chyb vztažený na jednotku délky
- $\nu$  = počet stupňů volnosti
- $h$  = délka intervalu
- $k$  = počet intervalů
- $x$  = počet vad v kuse
- $n_x$  = počet kusů vykazujících x vad
- $n_{2x}$  = počet 2metrových ústřížků vykazujících x vad
- $\gamma(x)$  = frekvenční funkce Poissonova zákona
- $f/x/$  = relativní četnost naměřených hodnot x
- $l_k$  = délka kusu tkaniny

VŠST Liberec	Studie výskytu vnějších vad na tkanině	Katedra MV DP 8
Fakulta textilní		

### 3. Teoretická část

## 3.0.0. Úvod

Německý autor G. Härtler se zabýval problematikou zjišťování chyb ve tkaninách a počtem bezchybných poloh při stříhání v konfekci. Své poznatky uveřejnil v následujícím článku.

Vadnost tkanin se vyjadřuje všeobecně počtem chyb na jednotku délky. Také stanovení jakostní třídy v normě musí být prováděno tímto způsobem. Pro oddělování stříhů v konfekčním závodě je ale zajímavá obrácená otázka a sice očekávané množství bezchybných poloh při určitém podélném položení ve střihu, když je znám počet chyb v dodané tkanině. Počet chyb v ústřížcích konstantní délky se dá v normálním případě popsat Poissonovým rozdelením, které závisí na parametru  $\lambda$ . Přitom je průměrný počet chyb v každé jednotce délky tkaniny. V praxi, avšak ne všeobecně, je známo, že parametrem je také určeno rozdelení délek bezchybných ústřížků tkanin. Abychom stanovili pravděpodobnostní model pro tuto souvislost, musí být pozorován rozdíl mezi dvěma, po sobě v podélném lineárním směru jdoucími chybami, jako náhodná veličina. Kromě toho jsou nutná nějaká zjednodušení skutečné situace.

1. Dráha tkaniny je teoreticky chápána jako velmi dlouhá.
2. Poloha chyby nemusí být pozorována jen v podélném lineárním směru tkaniny, to znamená, že poloha chyby v šířce tkaniny byla zanedbána.
3. Chyby jsou chápány stále jako od sebe oddělené, eventuální rozsah v podélném lineárním směru tkaniny je zanedbáván a za chybné místo je pokládán chybný střed.

## 3.0.1. Teoretická část funkce rozdělení

Pozorujeme-li libovolný interval  $[0,1]$  tkaniny a označujeme-li pomocí  $c_1$  počet chyb v tomto intervalu, potom můžeme pro každou náhodnou  $c_1$  předpokládat celou a nezápornou hodnotu  $0,1,2\dots$

Zvětší-li se interval o  $\Delta l$ , potom nabýde přírůstek chyb rovněž jen celé a nezáporné hodnoty.

Jestliže pravděpodobnost pro výskyt chyby ve tkanině stejné kvality závisí jen na délce pozorovaného intervalu, pak tato pravděpodobnost budiž označena  $F/l/$ ; potom se může popsaný stav pokládat za diskrétní stochastický proces stojící na místě doby, která trvale pomáhá náhodné změně délky a výskyt chyb je hodnocen jako náhodná veličina. Platí následující formální vztahy:

$F/l/$  jde s přibývající délkou intervalu k 1. může být vytvořena ubývající monotonní pravděpodobnostní funkce.

$$G/l/ = 1 - F/l/ \quad /1/$$

$$\text{platí } G/o/ = 1 \quad /2/$$

Protože pravděpodobnost pro výskyt chyb v různých nepřekryvajících se intervalech je nezávislá, platí

$$G/l_j + l_i/ = G/l_j/ \cdot G/l_i/ \quad /3/$$

přičemž  $i \neq j$

$G/l/$  je hotový rozdíl /difference/, kterého se dosáhne třetím zjednodušením, potom

$$\lim_{\Delta l \rightarrow 0} \frac{G/l + \Delta l/ - l/}{\Delta l} = \lim_{\Delta l \rightarrow 0} \frac{G/l/ - 1}{\Delta l} \quad /4/$$

Tím hraniční /mezní/ přechod  $\Delta l \rightarrow 0$  se udrží pro G /l/ funkčně stejný.

$$G' /l/ = G /l/ \cdot G' /0/ \quad /5/$$

Protože G /l/ monotonně ubývá, je  $G' /0/ \leq 0$ . Položíme se nyní  $G' /0/ = -\mu$  s  $\mu > 0$ , následuje z rovnice /5/:

$$G /l/ = e^{-\mu l}$$

F /l/ je jako exponenciální rozdělení tvaru

$$F /l/ = 1 - e^{-\mu l} \quad /7/$$

s hustotou pravděpodobnosti

$$f /l/ = \mu \cdot e^{-\mu l} \quad /8/$$

Ze vztahu /7/ a /8/ může se vypočítat pravděpodobnost pro výskyt bezvadného kusu tkaniny určité délky l. Tato pravděpodobnost je závislá na parametru  $\mu$ , který určuje kvalitní stav tkaniny a udává průměrný počet chyb každé jednotlivé tkaniny. Všechny podmínky, které byly nutné k odvození formule /7/ a /8/ jsou pro vlastnosti homogenního Poissonova rozdělení charakteristické. Jestliže takový proces existuje, pak vyhovuje počet chyb x v intervalu konstantní délky l Poissonovo rozdělení. Platí vztah:

$$\varphi(x) = \frac{(\mu \cdot l)^x \cdot e^{-\mu l}}{x!} \quad /9/$$

Pravděpodobnost rozdělení počtu chyb v konstantním intervalu závisí proto rovněž na parametru  $\mu$  a na délce intervalu l'.

### 3.0.2. Zvláštnosti parametru $\mu$ pro praxi

Parametrem  $\mu$  rozumíme průměrný počet chyb každé jednotlivé tkaniny. Pro otázku konfekčního průmyslu je

VŠST Liberec	Studie výskytu vnějších vad na tkanině	Katedra MV
Fakulta textilní		DP 12

dodatek tohoto pojmu nutný.

Dodávka tkaniny má být podle předpisu z více balíků tkaniny a balík obsahuje ještě 2 až 3 díly. Konce dráhy tkanin se projevují ve střihárně konfekčního průmyslu při pokládání vrstev jako vystříhávané chyby. Proto je parametr  $\mu_{\text{kon}}$  používán k vyjadřování průměrného počtu chyb a konců tkanin.

### 3.0.3. Srovnání teoretického odvození s výsledky dodávky tkanin.

Naproti teoretickému odvození stojí výsledky ze dvou dodávek bavlněných tkanin. Nyní je zjištěna četnost rozdělení chyb v intervalu konstantní délky a četnost rozdělení délek mezer mezi dvěma následujícími chybami /popřípadě mezi konci tkanin/. Měření k tomu nutná se provádějí v oděvním závodě pro bezezbytkový odstřih na tzv. balíkových přechodech.

Jako první příklad použijeme dodávku 735 m, která se skládá ze 24 kusů. Je stanoveno 79 chyb. Aby se četnosti rozdělení počtu chyb v intervalu konstantní délky mohly testovat s Poissonovým rozdělením, je dodaná tkanina rozdělena na 363 ústřízků, každý 2 m a stanoví se počet chyb v každém tomto dvoumetrovém ústřízku. Konce každého kusu tkaniny, které nedají plné 2 m se nepřipočítavají.

Odchylka od Poissonova rozdělení se posuzuje pomocí  $\chi^2$ -testu. Test poskytuje hodnotu  $\chi^2_{0,05} = 1,44$ . Teoretická hodnota činí  $\chi^2_{0,05} = 3,84$ . Rozdíl mezi empirickým a teoretickým rozdělením je omylem pravděpodobnosti  $\alpha = 0,05$  nevýznamný /analogické srovnání bylo provedeno s délkou intervalu od 10 m a také nebyl zjištěn žádný signifikantní rozdíl/.

VŠST Liberec	Studie výskytu vnějších vad na tkanině	Katedra MV
Fakulta textilní		DP 13

Přiložením zjistíme četnost rozdělení mezer mezi každými dvěma chybami. Přitom se hodnotí také konce každého kusu tkaniny jako chyba. Jsou užívány různé postupy, které testují souhlas četnosti rozdělení s exponenciálním rozdělením. Tyto jsou uvedeny v práci Epsteinově. Při tomto poměrně velkém obsahu náhodné zkoušky je obraz součtové křivky na exponenciálním papíru použitelný jen jako hrubá informace. Srovnání empirické součtové křivky s exponenciálním rozdělením, které závisí na parametru

$$\mu_{\lambda} = \frac{79 \text{ chyb} + 24 \text{ konců tkanin}}{735 \text{ m}} = 0,14 \text{ chyb/m}$$

ukazuje obr. 1

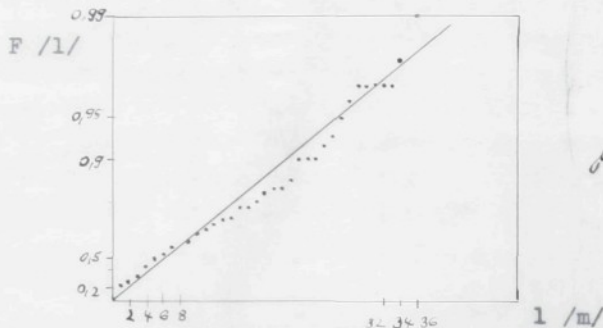
Kromě toho se testuje rozdíl mezi empirickou a teoretickou hustotou rozdělení s  $\chi^2$ . Obdrží se hodnota  $\chi^2 = 19,33$ . Srovná-li se tato hodnota s teoretickou  $\chi^2_{0,05} = 22,36$ , pak se může rozdíl s omylem pravděpodobnosti  $\alpha = 0,05$  označit jako signifikantní.

Druhý příklad je dodávka 968 m, která je dodána v 29 kusech. Bylo napočítáno 83 chyb. Obdrží se parametr

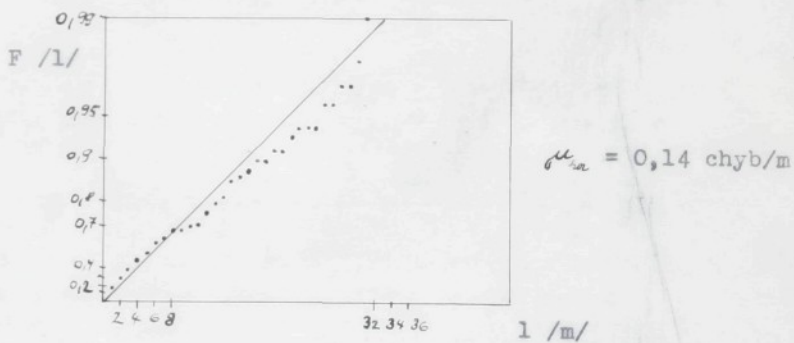
$$\mu_{\lambda} = \frac{83 \text{ chyb} + 29 \text{ konců tkanin}}{968 \text{ m}} = 0,12 \text{ chyb/m}$$

Shoda mezi empirickým a teoretickým rozdělením je lepší než v prvním obrázku, jak je možno poznat z obr. 2

V obou případech se potvrzuje, že rozdělení délek bezchybných dosahovaných odstřížků tkaniny pro praktické účely přesně souhlasí s exponenciálním rozdělením. Přitom si všimáme kvalitativního rozdílu mezi jednotlivými balíky dodávky, aby skutečná situace konfekčního závodu byla zhodnocena objektivně.



Obr. 2 Srovnání mezi teoretickým a skutečným rozdělením



Obr. 1 Srovnání mezi teoretickým a skutečným rozdělením

## 3.0.4. Odhad podílu bezchybných poloh

V konfekčních závodech se dnes užívá následujících délek poloh:

Pánské obleky	3 až 8 m
Dámské kostýmy	3 až 9 m
Dámské kabáty	2 až 7 m
Dětské oblečení	až 12 m
Prádlo a prac. oblečení	až 20 m

Tkaniny jsou zařazeny pro svou chybnost v I. nebo II. volbě /výběru/. Z hlediska standartu TGL 16 - 660018 "Tkaniny pro oděv a domácnost - třídící předpis", jsou stanoveny tyto následující parametry:

I. volba - je dovoleno 7 chyb každých 50 m, když se jedná o 1 kus. /  $\mu_{hor} = 0,16 \text{ chyb/m/}$

II. volba - je dovoleno 17 chyb každých 50 m, když se jedná o 1 kus /  $\mu_{hor} = 0,36 \text{ chyb/m/}$   
Jedná-li se o 2 kusy, pak je povoleno 15 chyb každých 50 m /  $\mu_{hor} = 0,34 \text{ chyb/m/}$

Pomocí exponenciálního rozdělení můžeme pro běžnou polohu délek a obě jakostní třídy odhadnout, které patří k očekávanému ústupečnému rozdělení bezchybné polohy.

Tabulka 1 obsahuje několik hodnot, které vychází z vysokého dovoleného počtu chyb v obou jakostních třídách.

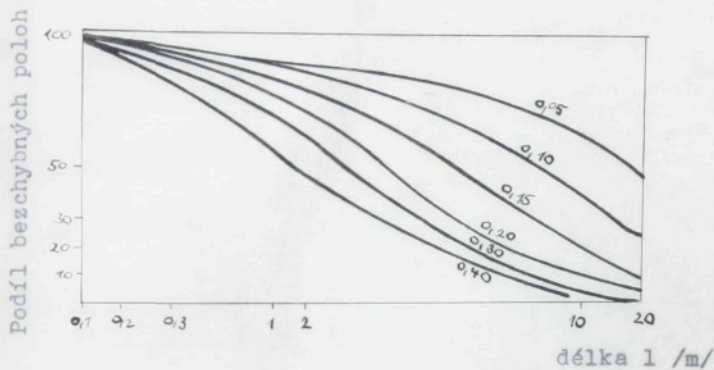
Tabulka 1

Délka /m/	I. volba = 0,15	II.volba = 0,35
	/%/	/%/
2	74	50
3	64	35
4	55	25
5	47	17
6	41	12
7	35	9
8	30	6
9	26	4
10	22	3
15	11	0,5
20	5	0,09

Tabulka - část bezchybných poloh

Pro rozličné jiné hodnoty parametru  $\mu_{\text{hor}}$  jsou očekávané části bezchybných poloh v obr. 3 ukázány graficky. Potom musí závod, který pracuje s polohou délky od 5 m a chce přistřihovat dodávku tkaniny s  $\mu_{\text{hor}} = 0,20$  chyb/m počítat s přibližně 64 % chybností, popř. určit průměrné dráhy ve střihu. Z obr. 3 je vidět, jak se může citlivě provést zhoršení kvality ve střihu, jaká je souvislost mezi polohou délky, kvalitou atd. Z uskutečněného šetření je kromě toho zjevné, že pro oděvní průmysl nejsou použitelné dodávky s málo chybami, ale proto kratšími délkami, že to vše závisí na  $\mu_{\text{hor}}$ .

Obr. 3



## 3.1.0. Dovolené počty vad u různých tkanin / dle ČSN/

Tkaniny z různých materiálů a používané pro odlišné druhy výrobků se liší dovoleným počtem vad na určitou délku. Naše ČSN určuje dovolený počet vad na délku 100 m. Dle tohoto počtu je možno tkaninu zařadit do jakostní třídy.

## Vlasové tkaniny: ČSN 80 3002

materiál	1. jakost	2. jakost	3.jakost
prací mančestr	33	34 - 53	54 - 80
mančestr	36	37 - 58	59 - 93
dyftín počesaný	31	32 - 52	53 - 81
samet	38	39 - 60	61 - 98

## Vigoňové tkaniny: ČSN 80 3041

Jakost	šířka tkaniny do 70 cm	šířka tkaniny nad 70 cm
1	30	40
2	44	54
3	60	70

## Bavlněné tkaniny: ČSN 80 3001

Materiál	1. jakost		2. jakost		3. jakost	
	do 100 cm	nad 100 cm	do 100 cm	nad 100 cm	do 100 cm	nad 100 cm
Ložní prádlo	25	31	26 - 42	32 - 52	43 - 82	53 - 77
košile, pyžama	27	-	28 - 44	-	45 - 66	-
šatovky/pestře tkané/	27	-	28 - 44	-	45 - 66	-
šatorky jemné /popeliny barvy v kuse/	20	-	21 - 37	-	38 - 59	-
Bílé zboží	24	30	25 - 40	31 - 50	41 - 60	51 - 74
Tkaniny vybarvené v kuse	27	33	28 - 45	34 - 56	46 - 68	57 - 84
Podšívky	31	42	32 - 50	43 - 66	51 - 73	67 - 94
Kapsoviny vložky	29	40	30 - 47	41 - 62	48 - 69	63 - 88
Pracovní oděvy	28	-	29 - 47	-	48 - 71	-
flanelové barhetové	27	-	28 - 45	-	46 - 68	-
Pláště oblyky	26	36	27 - 45	37 - 59	46 - 69	60 - 89

## Potištěné bavlněné tkaniny: ČSN 80 3003

Materiál	jakost		
	1	2	3
šatovky nepočesané	32	33 - 50	51 - 70
flanely barchety	26	27 - 42	43 - 64
tkaniny na dámské a pánské košile	38	39 - 60	61 - 87
prádlový šifon	29	30 - 45	46 - 67
šátky	3	4 - 5	6 - 7

Hedvábné tkaniny jednobarevné a pestře tkané :  
ČSN 80 3011

Materiál	jakost		
	1	2	3
šatovky, pláštovky, kravatoviny	42	43 - 54	55 - 72
tafty	48	49 - 60	61 - 74
prádlovky	50	51 - 61	62 - 72
šněrovačky	58	59 - 72	73 - 85
prošíváné přikrývky	60	61 - 72	73 - 85

Z nekonečných chemických vláken: ČSN 80 3012

Materiál	jakost		
	1	2	3
šatovky	50	51 - 60	61 - 70
pláštovky	52	53 - 62	63 - 72
prádlovky			

Tkaniny hedvábné - potištěné

Materiál	jakost		
	1	2	3
županoviny, kravatoviny	40	41 - 55	56 - 70
tafty, vločk. tisk	50	51 - 60	61 - 70
ostatní šatovky	36	37 - 50	51 - 66
prošívané přikryvky	64	65 - 75	76 - 85
ostatní prádlovky	45	46 - 60	61 - 70

Materiál	1.jakost		2.jakost		3.jakost	
	do 100cm	nad 100cm	do 100cm	nad 100cm	do 100cm	nad 100 cm
tafty, tk. kloboukové	44	50	45-58	51-62	59-70	63-78

VŠST Liberec	Studie výskytu vnějších vad na tkanině	Katedra MV
Fakulta textilní		DP 22

### 3.1.1. Označování chyb ve tkaninách

V závodě Textilana Liberec je používána k označování chyb norma ČSN 80 3030, která platí od 1.1.1963

Dle této normy lze vlněné tkaniny na svrchní ošacení rozdělit:

- a/ tkaniny na dámské šaty
- b/ tkaniny na dámské kostýmy a pánské obleky
- c/ tkaniny na dámské pláště, pánské svrchníky a hubertusy
- d/ tkaniny na zimníky

V případě zkoušené tkaniny obchodního názvu Jonel a Jerome se jedná o materiál na pánské obleky.

### 3.1.2. Technické požadavky

1/ Technické ukazatele, např. pevnost, obsah tuku, sráživost žehlením, žmolkovitost, stálobarevnost, odchylka podílu vláken a pod., jsou pro jednotlivé druhy nebo skupiny tkanin obsaženy v příslušných normách.

2/ Dovolené úchytky šířky a obchodní váhy jsou obsaženy v tab. L. Kladné úchytky se nestanoví.

Tabulka 2

Dovolená úchylka		
Druh	šířky v /cm/	obchodní váha /v %/
Tkaniny o váze nižší než 700 g	- 2	- 7
Tkaniny o váze 700 g a vyšší	- 2	- 8,5

3/ Pokud není mezi dodavatelem a odběratelem dohodnuto jinak, je dovolená úchylka barevného odstínu od objednaného vyjádřena etalonem č.l. Tkanina jejíž barevný odstín přesahuje meze dovolených úchylek se nepovažuje za vadnou, smí se však dodávat jen po předchozí dohodě s odběratelem na základě předloženého vzorku jako nový dezén nebo barevný odstín. S jednanou dohodu podepíše odběratel na předloženém srovnávacím vzorku.

Pro tkaniny dodávané veřejným zadavatelům platí srovnávací vzorky barevných odstínů, schválené odběrateli. V případě, že nejsou schváleny zvláštní vzorky, platí ustanovení tohoto článku.

4/ Délka kusu, pokud mezi výrobcem a odběratelem není dohodnuto jinak, jsou stanoveny:

a/ Pro dodávky oděvnímu průmyslu

I/ do váhy 1 m 620 g asi 50 m

II/ do váhy 1 m 850 g asi 45 m

III/ nad váhu 1 m 850 g asi 40 m

V dodávce za jedno čtvrtletí smí být nejvýše 5% kusů složeno ze dvou dílů a nejkratší délka může být 14 m. Pokud je oděvní průmysl monopolním odběratelem, je povolena nejkratší délka dílu 3 m.

VŠST Liberec	Studie výskytu vnějších vad na tkanině	Katedra MV
Fakulta textilní		DP 24

- b/ Pro dodávky obchodu
  - I/ do váhy 1 m 620 g asi 25 m
  - II/ do váhy 1 m 850 g asi 23 m
  - III/ nad váhu 1 m 850 g asi 20 m

Kus smí být složen ze tří dílů a nejkratší délka dílu může být 3 m. Díly od 1 m do 3 m se dodávají podle příslušných předpisů.

### 3.1.3. Třídění tkanin podle jakosti

- 5/ Každý výrobek v 1. a 3. třídě jakosti
  - a/ musí vyhovovat fyzikálně mechanickým hodnotám stanoveným v příslušných technických normách .
  - b/ Musí vyhovovat stálosti vybarvení podle ČSN 80 0080
  - c/ nesmí přesahovat dovolený počet místních a celokusových vad vnějšího vzhledu stanoveny touto normou, s vyjímkou tkanin uvedených v čl.9. Tkaniny, které nelze zařadit do žádné třídy jakosti, považují se za podřadné a značí se písmenem P.

6/ Třída jakosti podle vad vnějšího vzhledu je určena počtem místních vad v kuse, které se značí, a celokusovými vadami.

#### Vady místní

7/ Dovolený počet vad na délku 100 m pro jednotlivé třídy jakosti je určena takto:

pro 1. třídu jakosti 40

pro 2. třídu jakosti 50

pro 3. třídu jakosti 60

Při jiné délce kusu se stanoví dovolený počet vad pře-počtem podle poměru ke skutečné délce kusu.

8/ Nové, vysoce exkluzivní vývojové druhy, které kladou mimořádné nároky na výrobu, mohou mít určen počet vad pro jednotlivé třídy jakosti na základě dohody mezi dodavatelem a odběratelem.

9/ Druh a velikost vad, které musí být značeny, je uveden v tab. 4. Tyto vady se značí tehdy, ruší-li vzhled lince tkaniny.

10/ Místní vadu se značí hrubší režnou nití upevněnou v kraji tkaniny.

#### Vady celokusové

11/ Jsou-li v kuse vady, jako např. nadměrná nopkovitost /přes 300 drobných noplíků na 1 m<sup>2</sup>/, drobné úlomky řapíků a jiné nečistoty /asi 100 na 1m<sup>2</sup>/, osnovní pruhovitost, silná osnovní nit nebo útková pruhovitost, takže nesouhlasí se vzorovým kusem, zařadí se tkanina o 1 třídu jakosti níže, než bylo stanoveno podle počtu místních vad.

12/ Jsou-li ve tkanině strojně potištěné prouhy od stírače, nestejnoměrná potištění a nestejnoměrná vybarvení v malém rozsahu a do 5 cm od užitného okraje po celé délce kusu, zařadí se celý kus o 1 třídu jakosti níže, než jak bylo stanoveno podle počtu místních vad.  
Vyskytují-li se tyto vady ve větším rozsahu a dále než 5 cm od užitného okraje po celé šířce kusu, zařadí se kus o 2 třídy jakosti níže, než jak bylo stanoveno podle výsledného počtu místních vad.

13/ Tkaniny, u kterých stopy od rozpínek jsou po celém kusu nejvyšše 3 cm od užitného kraje /bez zřetele na dovolenou dolní úchylku, zařadí se o 1 třídu jakosti níže, než jak bylo stanoveno podle výsledného počtu místních vad, a o 2 třídy, jsou-li propichy od rozpínek dále než 3 cm od užitného kraje.

14/ Nejvyšší dovolené zešikmení /zkřížení/ je stanoven v tab.3.

Tabulka 3

Druh tkaniny	pro třídu jakosti		
	1	2	3
tkaniny kostkov.	2 cm	4 cm	6 cm
tkaniny hladké	4 cm	6 cm	8 cm
Kordy a tkaniny kordového charakteru	7 cm	9 cm	11 cm

15/ Dvoubarevnost a nestejnoměrné vybarvení tkaniny vyjádřené ve stupních šedé stupnice pro posuzování změny odstínu vybarvení podle ČSN 80 0305 je stanovena:

- a/ pro 1. a 2. třídu jakosti podle etalonu č.2
- b/ pro 3. třídu jakosti podle etalonu č.3

16/ Vnějším vzhledem musí tkaniny odpovídat vzorovému kusu, který je schválen pro každý vzor výrobcem a odběratelem. Vzorové kusy jsou uloženy u výrobce. Odběratel dostává ve formě vzorkovnice vzorky z nich odstřízené.

17/ Pokud je celokusová vada důvodem k přeřazení tkaniny do nižší třídy jakosti, musí se druh této vady uvést na visačce a není ji nutno ječnotlivě značit na kuse.

Tabulka 4

Číslo vady podle ČSN 80 0025	Název vady	Max.velikost vady pro 1 značku po dél- ce tkaniny	maximální vel.vady pro 1 značku
242	Vadný okraj do hloubky užitné šíře 2 až 4 cm		
322	Pravidelná vada tisku		
323	Posuvný vzor ze střídy		
324	Otisky barevné		
217	Nadhozy jednot- livé nebo častě- ji se vyskytující		
201, 226	Klasy a dvojáky útku výrazně po- rušující vzhled		
204	Přepojaté /stahu- jící/útky	do 10 cm	
402	Šíidší a husté útkové prouhy způsobené pro- mícháním mate- riálu nebo dos- tavou		
224	Útkové smyčky po celé šířce tkaniny		
206, 207	Chybně skané, pře- kroucené nebo ne- dokroucené útkové nitě		
208			
209, 210			
211	Forušení vzoru chyb- ným zdobným útkem		
213	Chybná útková nit		
215	Nedodržení střídy vzoru útku		
236	přesekaný útek		

225	Zá tahy přes 5 cm užité šířky		
325	Prouha od stírače nebo zaseknutého válce		
242	Vadný okraj do hloubky užité šíře 2 cm		
214	Vazební chyby osnovní nitě		
206, 207, 208	Chybň skané, překroucené nebo nedokroucené osnovní nitě		
209, 210, 211	Porušení vzoru chybou osnovní zdobnou nití	do 20 cm	
213	Chybň osnovní nit		
252	Místní zúžení tkaniny od 2 do 4 cm proti užitné šířce		
205	Zaolejované nebo za maštěné osnovní nitě přes 2 cm délky		
402	Prouhy vzniklé při po česávání nebo postřívání		
319	Prašivý tisk		
320	Vadně potištěná místa od švů nebo záhybů běhounek a deky		
321	Rybičky		
225	Zá tahy do 5 cm šířky		

201	Klasy a dvojáky osnovních nití výrazně porušující vzhled	
218	Žebříček osnovní	
204	Přepjaté /stahující/ osnovní nitě	do 30 cm
252	Místní zúžení tkaniny do 2 cm proti užitné šířce	
331, 332		
329	Jednotlivé zálistky, předložky a lomy	
224	Smyčky od útkové zarážky	
	Výrazné sekání od rozpínky	
218	Žebříček útkový	přes celou šířku tkaniny
410	Skvrna od mazadel	do Ø 5cm
406, 410		
411	Skvrna od vody, barvy nebo jiného původu	do Ø 10cm
403	Díra u dodávek pro oděvní průmysl	do Ø 10 cm
	Díra u dodávek pro vnitřní obchod	do Ø 2 cm
223	Špatně vyšitá hnizda	do Ø 10 cm
412	Stopy po čištění	do Ø 10 cm
	Stříky od tiskací barvy	
	Rozpity tisk	do 10 cm délky
		do 10 cm délky

Vyskytne-li se v délce 10 cm na tkanině více stejných nebo různých vad, jsou hodnoceny jako jedna vada. Vyskytněli se na tkanině vada normou neuvedená, posuzuje se podle vady obdobné.

VŠST Liberec	Studie výskytu vnějších vad na tkanině	Katedra MV
Fakulta textilní		DP 30

#### 4. Experimentální část

## 4.0.0. Úvod

Z důvodu potvrzení teoretické úvahy G. Härtlera bylo k měření chyb ve tkaninách použito 2 druhů tkanin s obchodními názvy *Jonel* a *Jerome*. Měření bylo prováděno v závodě Textilana Liberec na provozu adjustace.

Společná obchodní značka se nazývá *Tesil*. Tento materiál obsahuje 45 % čisté střížní vlny a 55 % polyestrového vlákna *tesil*. Obě složky se podílejí na vlastnostech *tesilových látek*, pro které jsou dnes vyhledávané na dámské šaty, kostýmy a pánské obleky. *Tesil* je pružný, nemačká se a rychle se zotavuje, je pevný za sucha i za mokra, odolný proti oděru, nepodléhá mikroorganismům, je stálý na světle a dobře tepelně izoluje.

Nyní některé bližší parametry týkající se tkaniny s obchodním názvem *JEROME*. Vyrábí se ve standartní šířce 150 cm, dostava útku na 10 cm činí 234, setkání 6,7 %; celkem 4 104 nití o Čm 40/2. Váha běžného metru je 420 g a to co se týče váhy režného kusu. Váha hotová je o něco vyšší, asi 430 g na běžný metr. To znamená, že váha 1 m<sup>2</sup> je 281 g. Snování je 32 x 125 + 28 nt. Materiál prošel úpravou prací, tepelnou, fixací, postříhem, kotlovou dekaturovou a hydraulickým lisem. Je tkán ve vazbě plátnové a keprové a používá se převážně na výrobu pánských obleků.

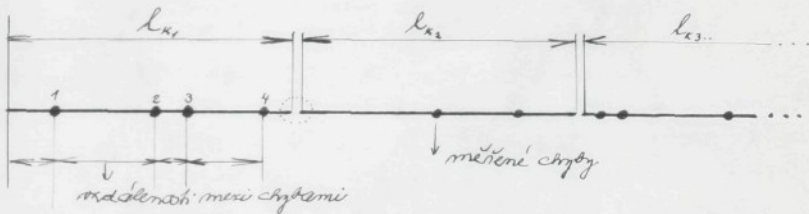
Materiál s názvem *JONEL* má poněkud odlišné parametry. Režná váha běžného metru je 315 g, hotová váha 320 g a váha 1 m<sup>2</sup> 209 g. Šířka 150 cm, dostava útku na 10 cm - 176, celkem 3100 nití, snování 96 nt x 31 + 52 nt, setkání 6,7 %, číslo příze Čm = 40/2. Materiál prošel úpravou prací, tepelnou, fixací, postříhem, kotlovou dekaturovou a hydraul. lisem. Tkanina je tkáná vazbou plátnovou s návodem hladkým. Použití je rovněž na pánské obleky.

## 4.0.1. Metoda měření

Samotné měření probíhalo asi po dobu 6 měsíců v n.p. Textilana Liberec na provozu adjustace. Materiál, to znamená JONEL a JEROME, je zde nabízován na navíjecím stole dlouhém asi 5 m. Na tento stůl přichází již nadublovaná tkanina. Vlastní navíjení se provádí ručně a to na obdélníkovou sololitovou desku. Společně s materiélem se odvíjí papírové měřítka, které je vedeno nad úrovní tkaniny. Dle tohoto měřítka je možno odměřovat vzdálenosti mezi jednotlivými chybami.

Vzhledem k velikosti chyb ve tkanině a k měřítku, bylo měření prováděno s vyhovující přesností 10 cm.

## Schematické znázornění prováděného měření



Konec každého jednotlivého kusu je pokládán za chybu. Každý takový kus je dle ČSN 80 3030:

- 1/ Navíjen do stúček nebo skládán do složek a adjusuje se podle dohody s odběratelem.
- 2/ Začátek a konec každého kusu, jakož i odstřih se musí vhodně označit.
- 3/ Opatří se štítkem s údaji dle ČSN 80 3009
- 4/ Uskladňuje se v suchých, větraných místnostech a nesmí být vystaven přímým účinkům slunce.

## 4.0.2. Vlastní měření - výpočet

Bylo proměřeno 100 kusů tkaniny JEROME o celkové délce 5662,1 m a o celkovém počtu chyb n = 429. Testuje se rozdíl mezi teoretickým Poissonovým rozdělením četnosti a skutečným rozdělením.

## JEROME

x	n <sub>x</sub>	f /x/ . 100 [%]	x . n <sub>x</sub>
0	2470	89,23	0
1	268	9,68	268
2	28	0,10	56
3	2	0,07	6
	2768		330

$$\mu = \frac{\sum x \cdot n_x}{n} = \frac{330}{2768} = 0,119 \text{ chyb/2 m}$$

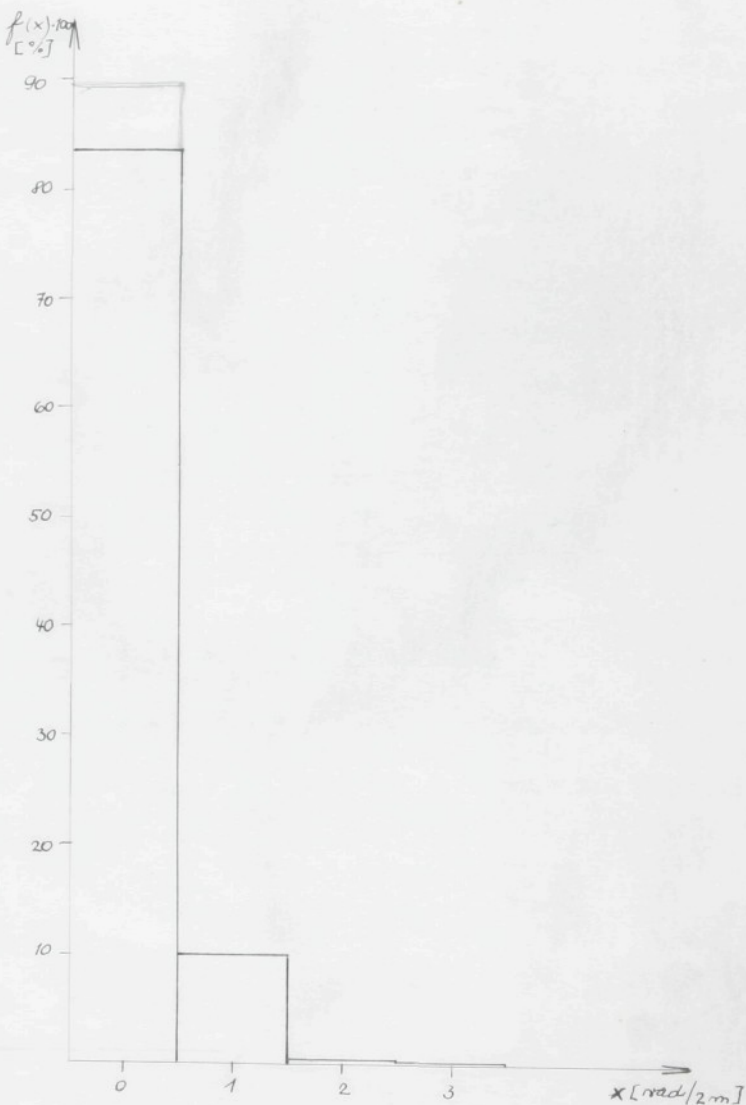
Grafické zobrazení f /x/ a x - Histogram obr.č.4

frekvenční funkce Poissonova zákona rozložení četnosti

$$f(x) = \frac{\mu^x \cdot e^{-\mu}}{x!}$$

obr. č. 4

JEROME



Výpočtová tabulka:

x	/x/	n <sub>2x</sub>	n <sub>t</sub>	n <sub>2x</sub> - n <sub>t</sub>	/n <sub>2x</sub> - n <sub>t</sub> / <sup>2</sup>	(n <sub>2x</sub> - n <sub>t</sub> ) <sup>2</sup> n <sub>t</sub>
0	0,866	2470	2397	73	5329	2,223
1	0,105	268	291	23	529	1,817
2	0,0063	28	17	11	121	7,110
3	0,00025	2	7	5	25	3,570

$$\sum_{x=0}^3 = 14,72$$

$$h = 1 \\ n = 2768$$

$$x^2 = \sum_{x=0}^3 \frac{(n_{2x} - n_t)^2}{n_t} = 14,72$$

Hodnota stupně volnosti činí 2. Potom z tabulek  $\chi^2_{0,95} = 5,99$ . Porovnáním obou hodnot nám vyplýne závěr, že rozdíl mezi teoretickým a skutečným rozdělením je významný.

Tento postup se provede také u materiálu JONEL o celkové délce 11267,4 m, 200 kusů o celkovém počtu chyb n = 1110

## JONEL

x	n <sub>x</sub>	f /x/ . 100 [%]	x . n <sub>x</sub>
0	4785	85,87	0
1	691	12,40	691
2	92	1,65	184
3	4	0,072	12

5572

887

$$\mu = \frac{\sum_{x=0}^3 x \cdot n_x}{n} = \frac{887}{5572} = 0,159 \text{ chyb/ 2m}$$

grafické zobrazení závislosti  $f(x)/n$  na  $x$  Histogram obr. č. 5

Výpočtová tabulka

$x$	$/x/$	$n_{2x}$	$n_t$	$n_{2x} - n_t$	$(n_{2x} - n_t)^2$	$\frac{(n_{2x} - n_t)^2}{n_t}$
0	0,852	4785	4748	37	1369,0	0,2883
1	0,135	691	755,0	64	4096	5,425
2	0,0107	92	59,6	33,21	1102,9	17,563
3	0,00057	4	3,17			

$$\sum_{x=0}^3 = 23,276$$

Stupeň volnosti  $V = 1$        $h \cdot n = 1 \cdot 5572 \approx 5572$

$$\chi^2 = \sum_{x=0}^3 \frac{(n_{2x} - n_t)^2}{n_t} = 23,276$$

Tabulková hodnota  $\chi^2_{0,05}$  pro  $V = 1$  činí 3,84. Podobně jako v minulém případě vidíme, že rozdíl mezi teoretickou a empirickou četností je významný.

obr. č. 5 JONEL



Četnost rozdělení mezer mezi každými dvěma chybami.

Jsou užívány různé postupy, které testují souhlas četnosti rozdělení s exponenciálním rozdělením. Zde byl opět použit test shody  $\chi^2$ .

Nejprve bylo provedeno ověření hodnoty  $\sigma^2$ .

#### JEROME

počet vad v kuse x	počet kusů vykaz. $n_x$ - zápis	$n_x$	$x \cdot n_x$
0	///	3	0
1		18	18
2		29	58
3		19	57
4		10	40
5		10	50
6	/	2	12
7	///	4	28
8	/	1	8
9	-	-	-
10	/	1	10
11	-	-	-
12	-	-	-
13	/	1	13
14	/	1	14
15	-	-	-
16	-	-	-
17	-	-	-
18	-	-	-
19	-	-	-
20	-	-	-
21	/	1	21

$$\mu_{\text{bez}} = \frac{\sum_{k=0}^{24} x \cdot n_x + \sum n_x}{\sum_{k=0}^{24} l_k} = \frac{329 + 100}{5662,1} = 0,0758 \text{ chyb/m}$$

$$/ \quad \mu = 0,0758 \text{ chyb/m} /$$

Vyjádření hodnoty  $\mu$  u tkaniny JONEL

počet vad v kusu x	počet kusů vykaz. x vad $n_x$ - zápis	$n_x$	$x \cdot n_x$
0	88 //	7	0
1	60 // 60 // 60 //	32	32
2	88 88 88 //	24	48
3	88 88 88 88 //	34	102
4	88 88 88 //	25	100
5	88 88 88 //	21	105
6	88 //	13	78
7	88 //	11	77
8	88 //	8	64
9	88 //	9	81
10	/	1	10
11	88	5	55
12	//	3	36
13	/	1	13
14		-	-
15	//	2	30
16	/	1	16
17	/	1	17
18		-	-
19	/	1	19
20		-	-
21		-	-
22		-	-
23		-	-
24	/	1	24

VŠST Liberec	Studie výskytu vnějších vad na tkanině	Katedra MV
Fakulta textilní		DP 40

$$\mu_{\text{ch}0} = \frac{\sum_{x=0}^{24} x \cdot n_x + \sum_x n_x}{\sum_k l_k} = \frac{907 + 200}{11267,4} = 0,0982 \text{ chyb/m}$$

/  $\mu = 0,0985 \text{ chyb/m} /$

Třídicí tabulka - JEROME

j	L <sub>jd</sub> - L <sub>jh</sub> /m/	L <sub>j</sub> /m/	zápis	n <sub>j</sub>
1	0 - 2	1		80
2	2 - 4	3		61
3	4 - 6	5		39
4	6 - 8	7		32
5	8 - 10	9		/ 30
6	10 - 12	11		// 28
7	12 - 14	13		/ 24
8	14 - 16	15		/ 15
9	16 - 18	17		13
10	18 - 20	19		/ 14
11	20 - 22	21		8
12	22 - 24	23		8
13	24 - 26	25		7
14	26 - 28	27		6
15	28 - 30	29		4
16	30 - 32	31		6
17	32 - 34	33		5
18	34 - 36	35	/	2
19	36 - 38	37		8
20	38 - 40	39		6
21	40 - 42	41		/ 5
22	42 - 44	43		/ 3
23	44 - 46	45		10
24	46 - 48	47		4
25	48 - 50	49	//	2
26	50 - 52	51	/	1
27	52 - 54	53	//	2
28	54 - 56	55	//	3
29	56 - 58	57	//	3

Výpočtová tabulka - JEROME

$j$	$L_j$ /m/	$-d^{\mu} L_j$	$e^{-d^{\mu} L_j}$	$e^{\mu e^{-d^{\mu} L_j}}$	$n_j$	$n_{t,j}$	$n_j - n_{t,j}$	$/n_j - n_{t,j}/^2$	$/n_j - n_{t,j}/^2$ $n_{t,j}$
1	1	0,0758	0,9322	0,0706	80	60,5748	19,4252	377,3384	6,2293
2	3	0,2274	0,7945	0,0602	61	51,6516	9,3484	87,3926	1,6919
3	5	0,3790	0,6838	0,0518	39	44,4444	5,4444	29,6415	0,6669
4	7	0,5306	0,5886	0,0446	32	38,2668	6,2668	39,2728	1,0262
5	9	0,6822	0,5066	0,0384	30	32,9472	2,9472	8,6859	0,2636
6	11	0,8338	0,4360	0,0331	28	28,3998	0,3998	0,1598	0,0562
7	13	0,9854	0,3730	0,0283	24	24,2814	0,2814	0,0792	0,0032
8	15	1,1370	0,3198	0,0242	15	20,7736	5,7736	33,3344	1,6046
9	17	1,2886	0,2752	0,0208	13	17,8464	4,8464	23,5728	1,3208
10	19	1,4402	0,2369	0,0179	14	15,3582	1,3582	1,8547	0,1207
11	21	1,5918	0,2039	0,0155	8	13,2990	5,2990	28,0794	2,1113
12	23	1,7434	0,1755	0,0133	8	11,4114	3,4114	11,6376	1,0198
13	25	1,8950	0,1510	0,0114	7	9,7812	2,7812	7,7351	0,7908
14	27	2,0466	0,1287	0,0097	6	8,3226	2,3226	5,3945	0,6482
15	29	2,1982	0,1108	0,0084	4	7,2072	3,2072	10,2861	1,4271
16	31	2,3498	0,0953	0,0072	6	6,1776	0,1776	0,0313	0,0050
17	33	2,5014	0,0820	0,0062	5	5,3196	0,3196	0,1021	0,0191

18	35	3,4475	0,0317	0,0031	9	6,8820	2,1180	4,4860	0,6518
19	37	3,6445	0,0259	0,0025	9	5,5500	3,4500	11,9025	2,1445
20	39	3,8415	0,0212	0,0021	9	4,6620	8,5640	73,3420	8,6939
21	41	4,0385	0,0174	0,0017	8	3,7740	3,1080	27,3319	3,5160
22	43	4,2355	0,0142	0,0014	6	2,6640	5,2280		
23	45	4,4325	0,0120	0,0012	4	1,9980	2,6640		
24	47	4,6295	0,0095	0,0009	3	1,7760	1,7760		
25	49	4,8265	0,0082	0,0008	3	1,3320	1,3320		
26	51	5,0235	0,0066	0,0006	4	1,1100	1,1100		
27	53	5,2205	0,0052	0,0005	2	0,8880	0,8880		
28	55	5,4175	0,0043	0,0004	3	0,6660	0,6660		
29	57	5,6145	0,0036	0,0003	4	0,4440	0,4440		
30	59	5,8115	0,0030	0,0002	2				

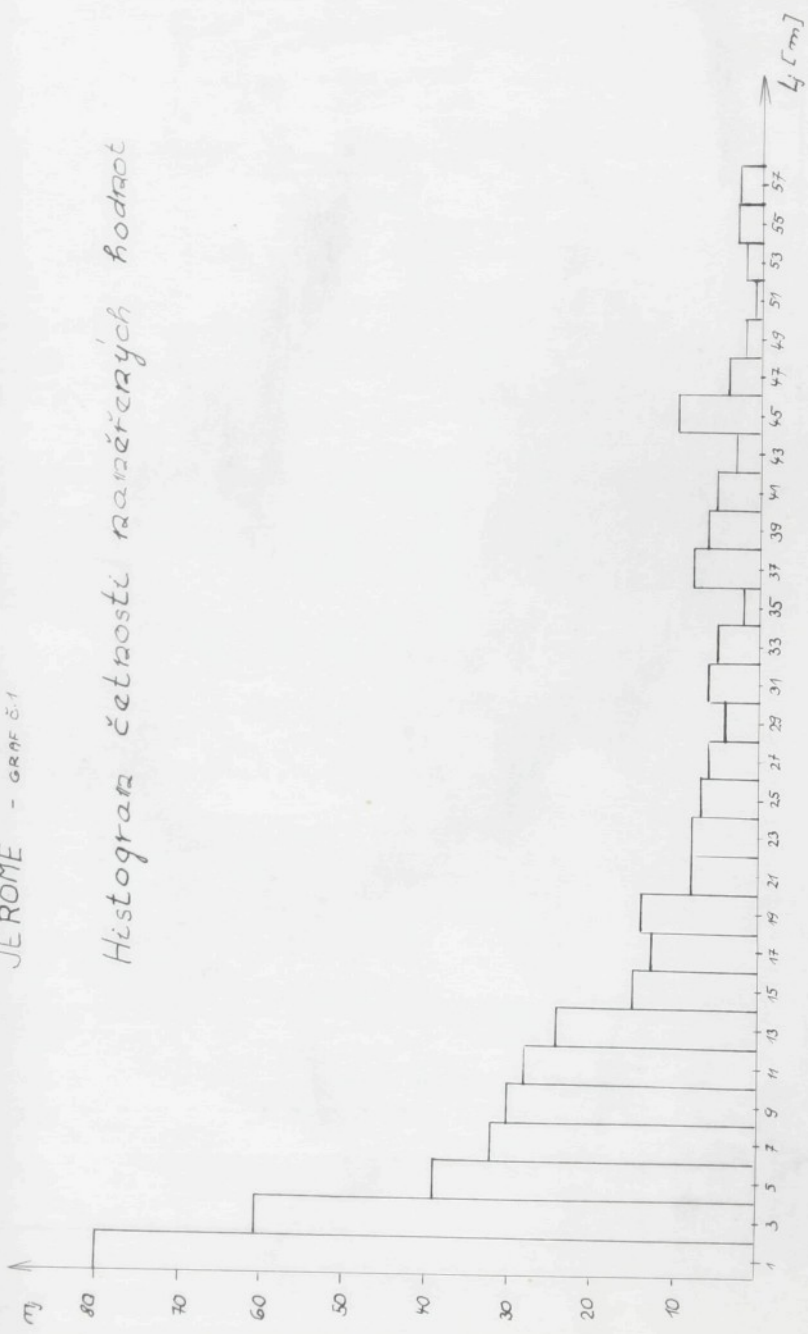
$$\chi^2 = \sum_{j=1}^3 \frac{n_{t,j} - n_{t,j}/2}{n_{t,j}} = 76,0586$$

$$\mathcal{L}_{9,95}^2 = 30,1$$

$$n_{t,j} = f / L_j / \cdot h \cdot n = 2220$$

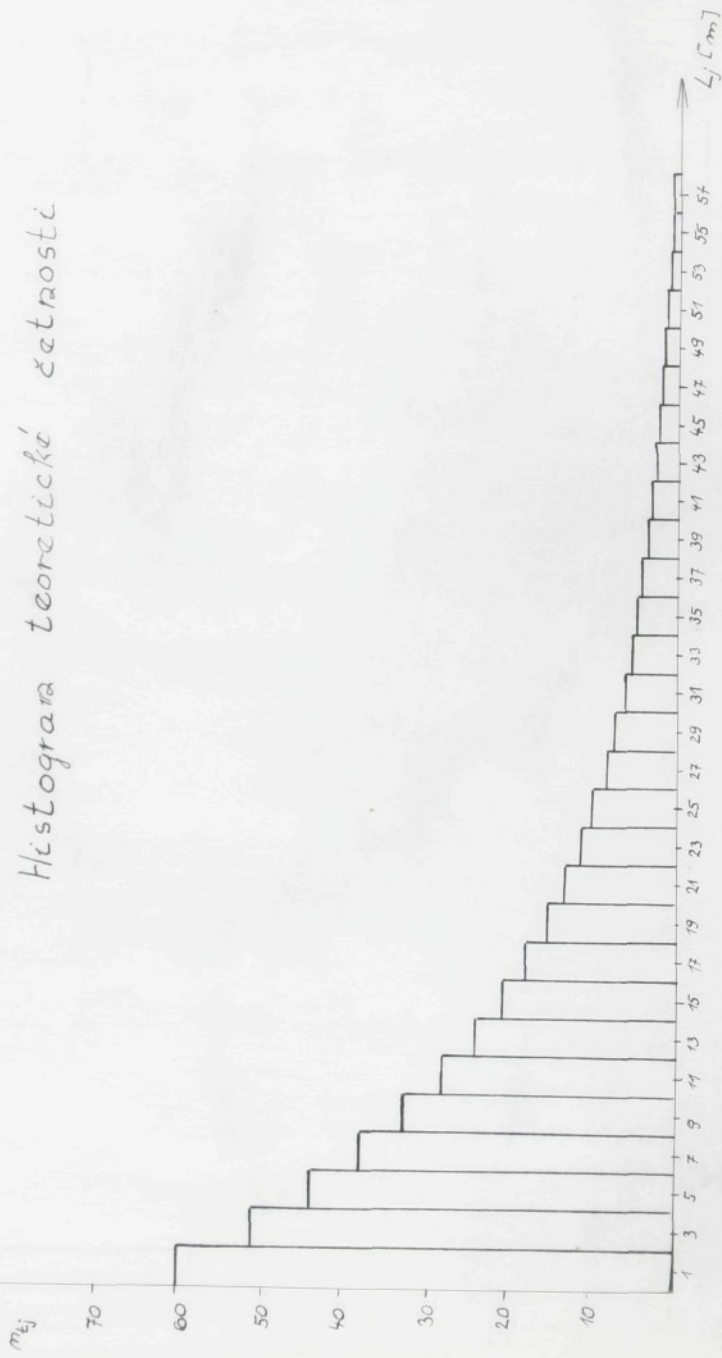
Zde je rovněž rozdíl mezi empirickým a teoretickým rozdělením významný. Viz obr. č. 7

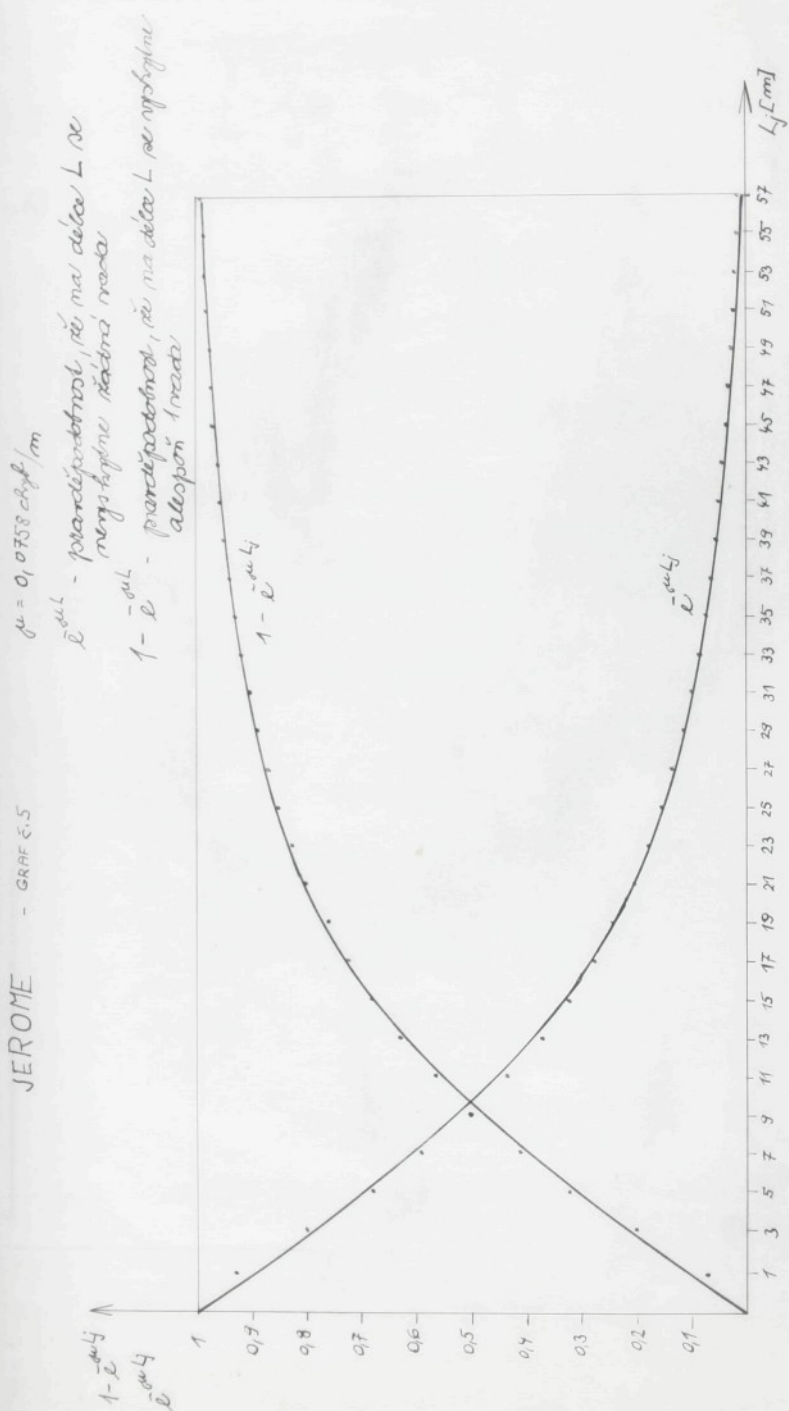
JEROME - GRAF č. 1



JEROME - GRAPH č. 2

Histograma teoretické catnosti





Nyní tato samá úvaha u materiálu JONEL

Třídnící tabulka - JONEL

j	L <sub>jd</sub> - L <sub>jh</sub> /m/	L <sub>j</sub> /m/	zápis	n <sub>j</sub>
1	0 - 2	1		265
2	2 - 4	3		165
3	4 - 6	5		117
4	6 - 8	7		100
5	8 - 10	9		75
6	10 - 12	11		59
7	12 - 14	13		51
8	14 - 16	15		39
9	16 - 18	17		38
10	18 - 20	19		25
11	20 - 22	21		22
12	22 - 24	23		19
13	24 - 26	25		19
14	26 - 28	27		15
15	28 - 30	29		14
16	30 - 32	31		11
17	32 - 34	33		10
18	34 - 36	35		9
19	36 - 38	37		9
20	38 - 40	39		9
21	40 - 42	41		8
22	42 - 44	43		6
23	44 - 46	45		4
24	46 - 48	47		3
25	48 - 50	49		3
26	50 - 52	51		4
27	52 - 54	53		2
28	54 - 56	55		3
29	56 - 58	57		4
30	58 - 60	59		2

## Výpočtová tabulka - JONEL

j	L <sub>j</sub> /m/	- $\rho\omega L_j$	$e^{-\rho\omega L_j}$	$\rho\omega e^{-\rho\omega L_j}$	n <sub>j</sub>	n <sub>tj</sub>	n <sub>j</sub> - n <sub>tj</sub>	$/n_j - n_{tj}/^2$	$/n_j - n_{tj}/^2$ $n_{tj}$
1	1	0,0985	0,9139	0,0901	265	200,0226	64,4780	4157,4124	20,7840
2	3	0,2955	0,7982	0,0737	165	163,6040	1,4000	1,9600	0,0119
3	5	0,4925	0,6126	0,0603	117	133,8660	16,8660	284,4619	2,1240
4	7	0,6895	0,5016	0,0494	100	109,6680	9,6680	93,4702	0,8520
5	9	0,8865	0,4130	0,0407	75	90,3540	15,3540	235,7450	2,6090
6	11	1,0835	0,3396	0,0334	59	74,1480	15,1480	229,4610	3,4990
7	13	1,2805	0,2780	0,0274	51	60,8280	9,8280	96,5890	1,5880
8	15	1,4775	0,2284	0,0225	39	49,9500	10,9500	119,9020	2,4000
9	17	1,6745	0,1882	0,0185	38	41,0700	3,0700	9,4240	0,2290
10	19	1,8715	0,1541	0,0152	25	33,7440	8,7440	76,4570	2,2660
11	21	2,0685	0,1262	0,0124	22	27,5280	5,5280	30,5580	1,1100
12	23	2,2655	0,1043	0,0103	19	22,8660	3,8660	14,9460	0,6530
13	25	2,4625	0,0854	0,0084	19	18,6480	0,3520	0,1230	0,0660
14	27	2,6595	0,0699	0,0068	15	15,0960	0,0960	0,0090	0,0006
15	29	2,8565	0,0572	0,0056	14	12,4320	1,5700	2,4650	0,1980
16	31	3,0535	0,0473	0,0047	11	10,4340	0,5660	0,3200	0,0306
17	33	3,2505	0,0387	0,0038	10	8,4360	1,5640	2,4460	0,2890

18	35	2,6530	0,0706	0,0054	2	4,6332	1,4200	2,0164	0,2350
19	37	2,8046	0,0608	0,0046	8	3,9468			
20	39	2,9562	0,0518	0,0039	6	3,3462			
21	41	3,1078	0,0450	0,0034	5	2,9172			
22	43	3,2594	0,0387	0,0029	3	2,4882			
23	45	3,4110	0,0333	0,0025	10	2,1450			
24	47	3,5626	0,0273	0,0021	4	1,8018			
25	49	3,7142	0,0247	0,0019	2	1,6302			
26	51	3,8658	0,0202	0,0015	1	1,2870			
27	53	4,0174	0,0183	0,0014	2	1,2012			
28	55	4,1690	0,0149	0,0012	3	1,0296			
29	57	4,3206	0,0116	0,0010	3	0,7722			

$$\sigma^2 = 0,0758 \text{ chyb/m} \quad \gamma = 21 - 2 = 19 \quad n_{t,j} = f / L_j / \cdot h \cdot n = f / L_j / \cdot 858 \quad \sum = 44,5313$$

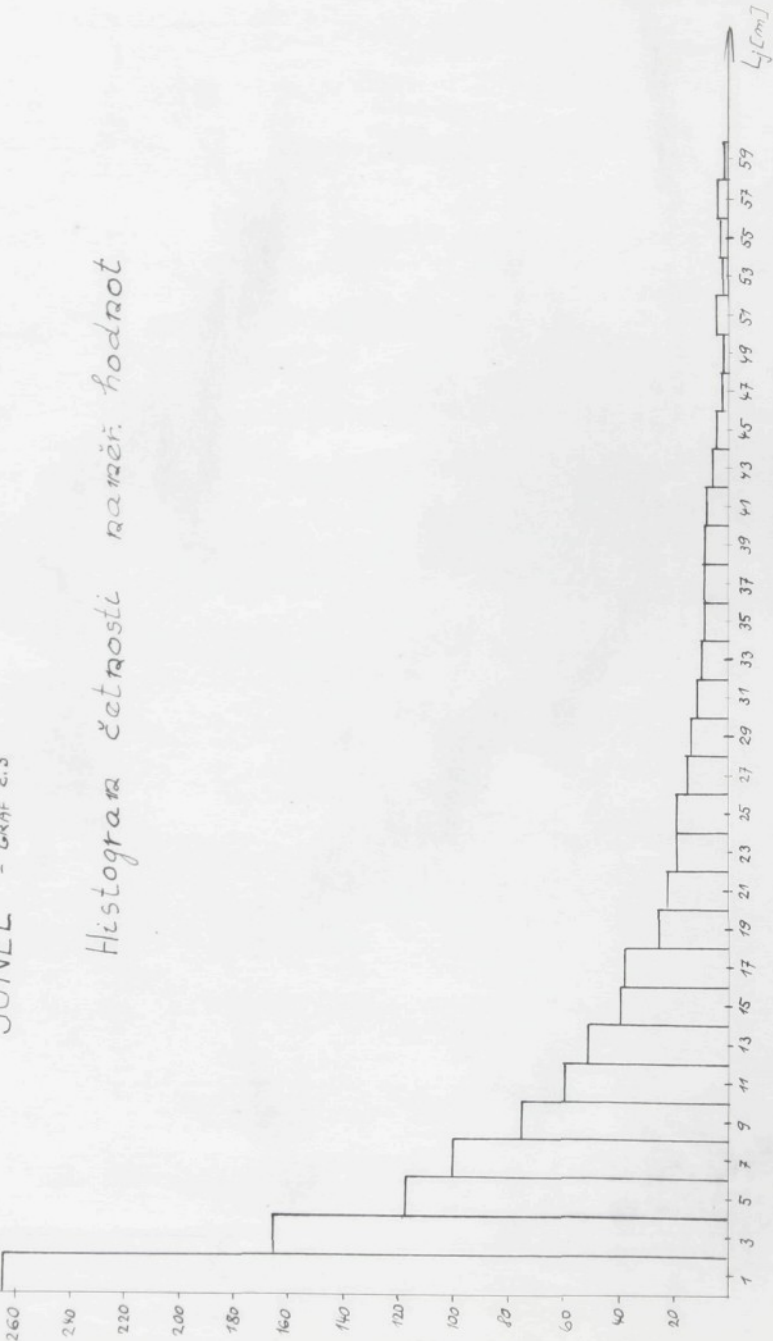
$$\chi^2 = \frac{n_j - n_{t,j}}{n_{t,j}}^2 = 44,5313$$

Testovaný rozdíl mezi empirickým a teoretickým  
rozdělením je významný. Viz obr. 6

$$\chi^2_{\text{obs}} = 30,1$$

JONEL - GRAF č.3

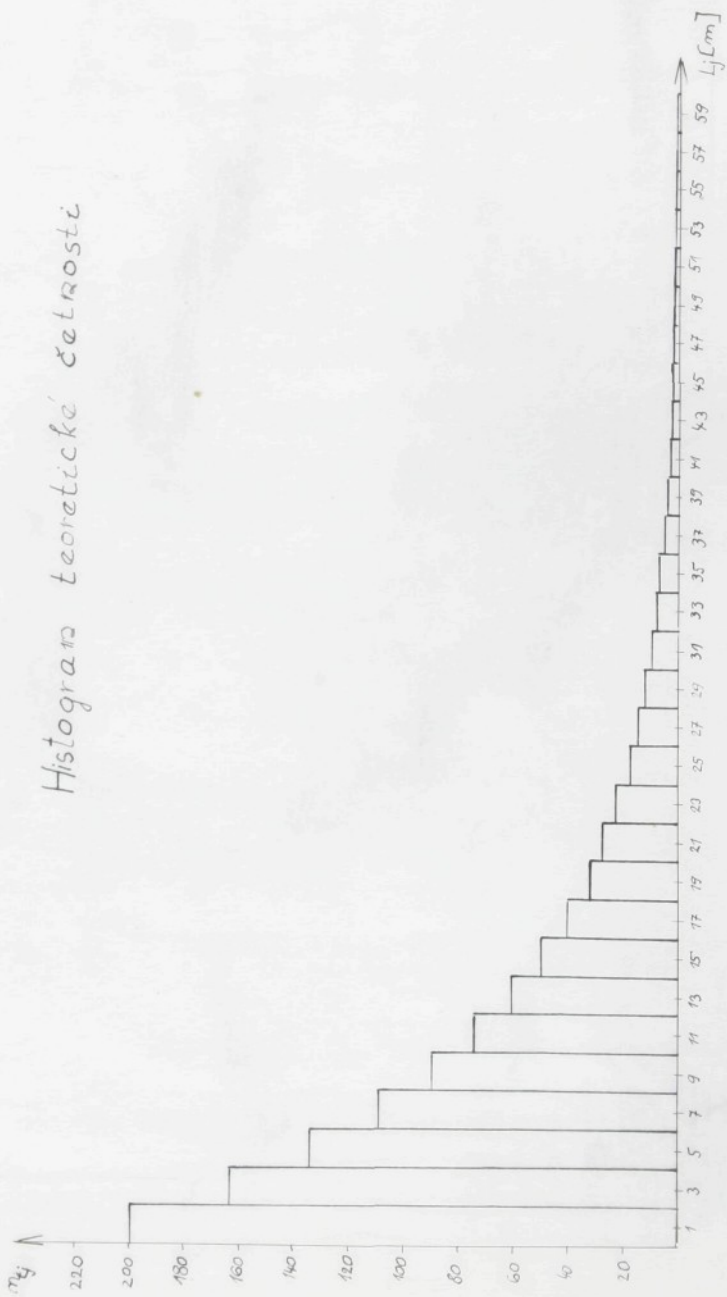
### Histogram cestnosti rámčí hodnot

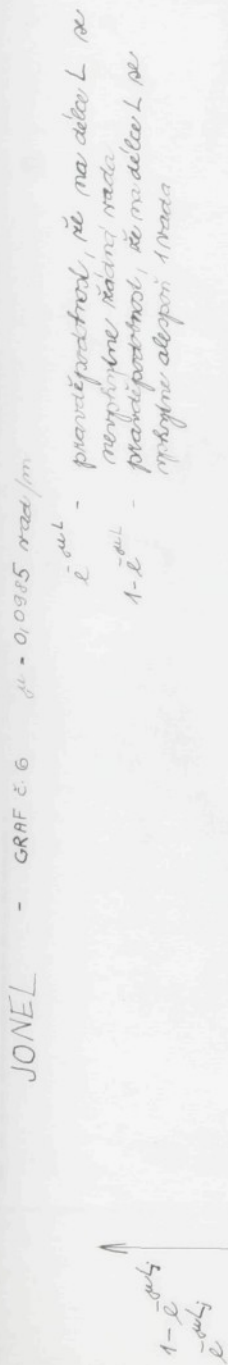


JONEČ

- GRAPH 4

Histogram teoretické četnosti





## JEROME

Výpočet hodnoty  $F_j$  - nutné ke srovnání mezi skutečným a teoretickým rozdělením, když  $\mu = 0,0758$  chyb/m /viz graf č.6

j	$L_j$ /m/	$n_j$	$f_j$	$F_j$
1	1	80	0,1865	0,1865
2	3	61	0,1422	0,3287
3	5	39	0,0909	0,4196
4	7	32	0,0745	0,4942
5	9	30	0,0699	0,5640
6	11	28	0,0652	0,6293
7	13	24	0,0559	0,6852
8	15	15	0,0349	0,7201
9	17	13	0,0303	0,7504
10	19	14	0,0328	0,7831
11	21	8	0,0186	0,8018
12	23	8	0,0186	0,8204
13	25	7	0,0163	0,8366
14	27	6	0,0139	0,8505
15	29	4	0,0093	0,8599
16	31	6	0,0139	0,8737
17	33	5	0,0116	0,8854
18	35	2	0,0046	0,8899
19	37	8	0,0186	0,9085
20	39	6	0,0139	0,9249
21	41	5	0,0116	0,9341
22	43	3	0,0069	0,9409
23	45	10	0,0233	0,9643
24	47	4	0,0093	0,9735
25	49	2	0,0046	0,9782
26	51	1	0,0023	0,9805
27	53	2	0,0046	0,9851
28	55	3	0,0069	0,9919
29	57	3	0,0069	0,9989

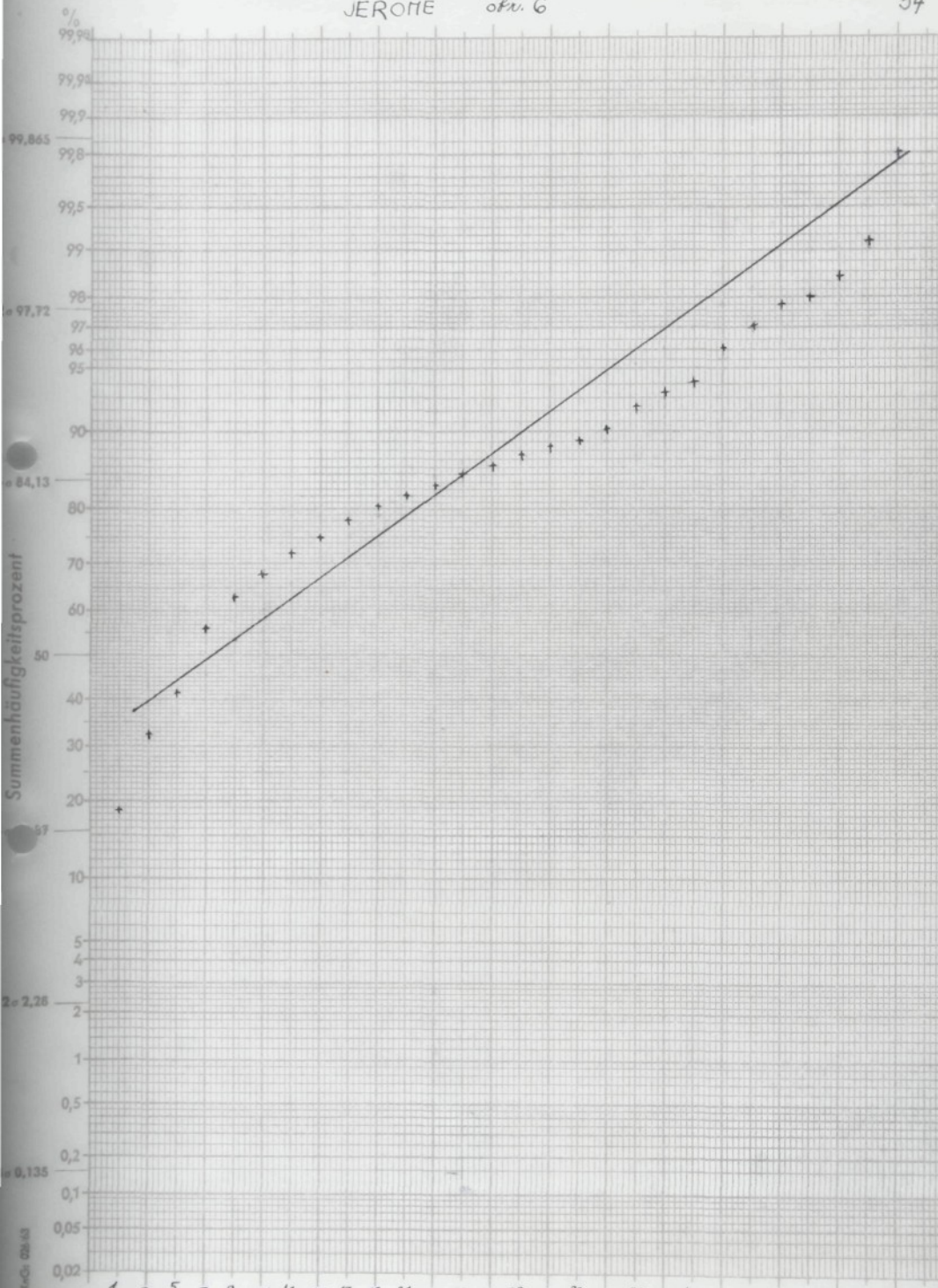
$$f_j = \frac{n_j}{n}$$

$$n = 429$$

$$F_j = \sum_{j=1}^i f_j$$

Wahrscheinlichkeitsnetz  
JEROME ohr. 6

Nr.  
54



## JONEL

Výpočet hodnoty  $F_j$  - nutné ke srovnání mezi skutečným a teoretickým rozdělením, když  $\mu = 0,0985$  chyb/m /viz graf č. 7/

j	$L_j$ /m/	$n_j$	$f_j$	$F_j$
1	1	265	0,2387	0,2387
2	3	165	0,1486	0,3873
3	5	117	0,1054	0,4927
4	7	100	0,0901	0,5828
5	9	75	0,0675	0,6504
6	11	59	0,0531	0,7036
7	13	51	0,0459	0,7495
8	15	39	0,0351	0,7846
9	17	38	0,0342	0,8188
10	19	25	0,0225	0,8414
11	21	22	0,0198	0,8612
12	23	19	0,0171	0,8783
13	25	19	0,0171	0,8954
14	27	15	0,0135	0,9089
15	29	14	0,0126	0,9215
16	31	11	0,0099	0,9314
17	33	10	0,0090	0,9404
18	35	9	0,0081	0,9486
19	37	9	0,0081	0,9567
20	39	9	0,0081	0,9648
21	41	8	0,0072	0,9721
22	43	6	0,0054	0,9774
23	45	4	0,0036	0,9810
24	47	3	0,0027	0,9837
25	49	3	0,0027	0,9864
26	51	4	0,0036	0,9900
27	53	2	0,0018	0,9918
28	55	3	0,0027	0,9945
29	57	4	0,0036	0,9981
30	59	2	0,0018	0,9999

$$n = 1110$$

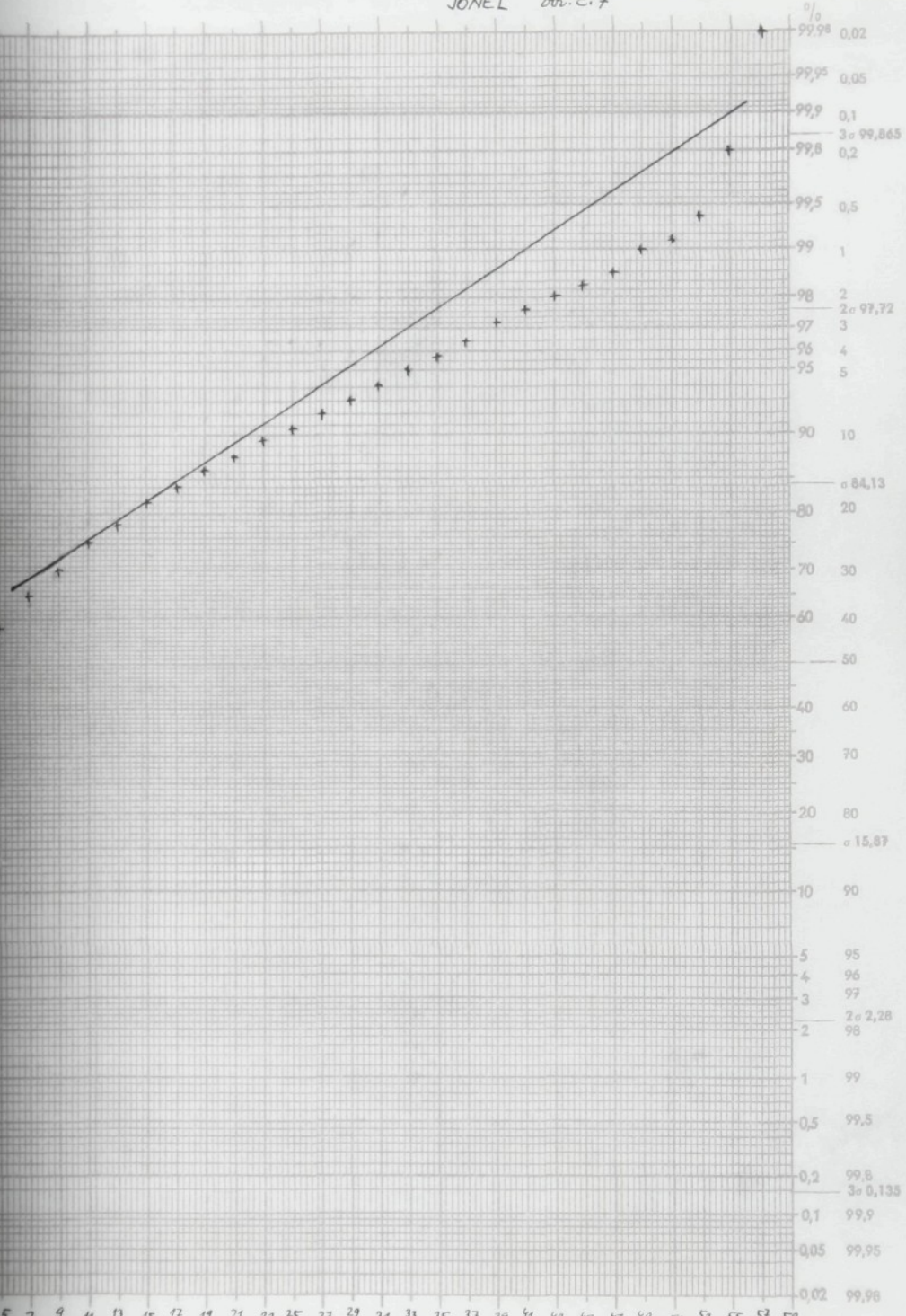
$$f_j = \frac{n_j}{n}$$

$$F_j = \sum_{j=1}^n f_j$$

# Merkmalsgrenzwert $g$

JONEL ob. E. 7

56



Abszissenachse gleichmäßig, Ordinatenachse nach dem Gauß'schen Integral, geteilt.  $L_j [m]$

Na závěr byl proveden výpočet podílu bezchybných poloh pro různé hodnoty  $\sigma^w$  a L dle vzorce  $G/L = e^{-\sigma^w L_j}$  (obr. 8)

Výpočet byl proveden na samočinném počítači Minsk 22 dle následujícího programu

```

MON X JOB ;
MON X ALGOL ; S1, W: JANA KONEČNÁ, LP ;

'BEGIN
'INTEGER L, M ;
'FOR L := 0.1 'STEP 0.1 'UNTIL 1,
2 'STEP 1 'UNTIL 20 'DO 'BEGIN WRITE (4,L) ;
'FOR M: = 0.05 'STEP 0.01 'UNTIL 0.1,
0.2 'STEP 0.1 'UNTIL 0.7, 0.75 'STEP 0.05
'UNTIL 0.9 'DO WRITE (4,M,'(
'),
EXP (-M x L)) ;
END ;
END
MON X PAUSE ;
MON X CONTROL ; W: JANA KONEČNÁ,, LP ;
L + 0.1 + 1 + 10
+ 0.2 + 2 + 11
+ 0.3 + 3 + 12
+ 0.4 + 4 + 13
+ 0.5 + 5 + 14
+ 0.6 + 6 + 15
+ 0.7 + 7 + 16
+ 0.8 + 8 + 17
+ 0.9 + 9 + 18
+ 19 + 20
M + 0.05 + 0.4
+ 0.06 + 0.5
+ 0.07 + 0.6
+ 0.08 + 0.7
+ 0.09 + 0.75
+ 0.1 + 0.8
+ 0.2 + 0.85
+ 0.3 + 0.9

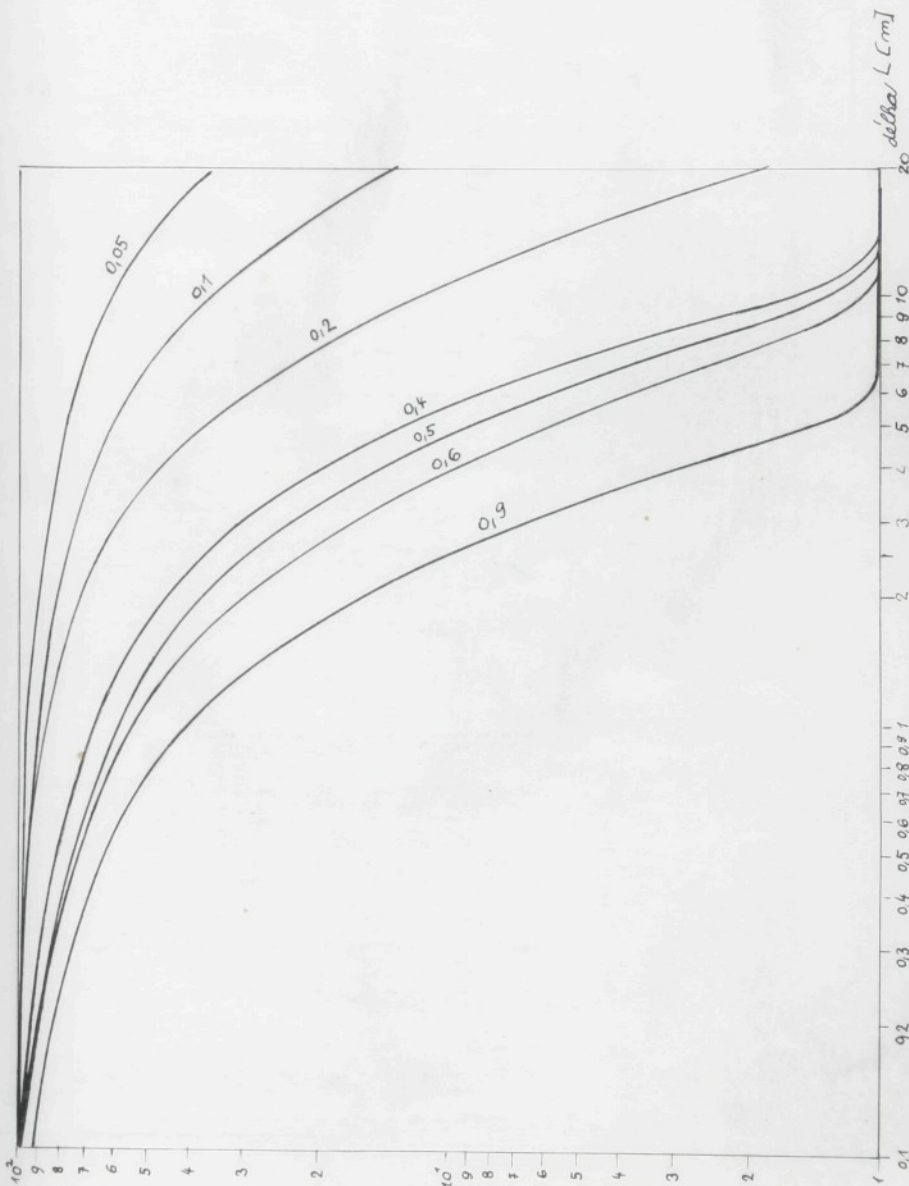
MON X ;
MON X PAUSE ;

```

Výpočet vztažu  $G/L = e^{-\sigma L}$ 

$L$	$\sigma L$	0,05	0,06	0,07	0,08	0,09	0,1	0,2	0,3	0,4	0,5
0,1	0,9945	0,9938	0,9924	0,9917	0,9910	0,9900	0,98020	0,97045	0,96079	0,95123	
0,2	0,9905	0,9872	0,9853	0,9821	0,9811	0,98020	0,96079	0,94176	0,92312	0,90484	
0,3	0,9898	0,9862	0,9848	0,9825	0,9815	0,97045	0,94176	0,92312	0,90484		
0,4	0,98020	0,9790	0,9720	0,9694	0,9621	0,96079	0,94176	0,92312	0,90484		
0,5	0,9781	0,97045	0,9700	0,96079	0,9548	0,95123	0,94176	0,92312	0,90484		
0,6	0,97045	0,9700	0,9674	0,9581	0,9477	0,94176	0,88692	0,83527	0,78663	0,74082	
0,7	0,9654	0,9620	0,9581	0,9431	0,9302	0,93239	0,86936	0,81058	0,75578	0,70469	
0,8	0,96079	0,9600	0,9540	0,9320	0,9241	0,9241	0,85214	0,78663	0,72615	0,67032	
0,9	0,9590	0,9423	0,9294	0,9199	0,91393	0,91393	0,83527	0,76338	0,69768	0,63763	
1,0	0,95123	0,94176	0,93239	0,92312	0,91393	0,90484	0,81873	0,74082	0,67032	0,60653	
1,1	0,94176	0,94176	0,92312	0,85214	0,83527	0,81873	0,67032	0,54881	0,44933	0,35788	
1,2	0,90484	0,88692	0,86936	0,85214	0,83527	0,81058	0,74082	0,54881	0,40657	0,30119	0,22313
1,3	0,86071	0,83527	0,81058	0,78663	0,76338	0,74082	0,54881	0,40657	0,30119	0,22313	
1,4	0,81873	0,78663	0,75578	0,72615	0,69768	0,67032	0,44933	0,30119	0,20119	0,13534	
1,5	0,77880	0,74082	0,70469	0,67032	0,63763	0,60553	0,36788	0,22313	0,13534	0,08208	
1,6	0,74082	0,69768	0,65705	0,61873	0,58275	0,54881	0,30119	0,16530	0,09071	0,04978	
1,7	0,70469	0,65705	0,61263	0,57121	0,53259	0,49659	0,24660	0,12246	0,06081	0,03019	
1,8	0,67032	0,61878	0,57121	0,52729	0,48675	0,44933	0,20119	0,09071	0,04076	0,01831	
1,9	0,63763	0,58275	0,53259	0,48675	0,44486	0,40657	0,16530	0,06720	0,02732	0,01111	
1,0	0,60653	0,54881	0,49659	0,44933	0,40657	0,36788	0,13534	0,04978	0,01831	0,00673	
1,1	0,57695	0,51685	0,46301	0,41478	0,37158	0,33287	0,11080	0,03688	0,01227	0,00408	
1,2	0,54881	0,48675	0,43171	0,38286	0,33960	0,30119	0,09071	0,02732	0,00823	0,00247	
1,3	0,52205	0,45841	0,40252	0,35345	0,31037	0,27253	0,07427	0,02024	0,00551	0,00150	
1,4	0,49695	0,43171	0,37531	0,32628	0,28365	0,24660	0,06081	0,01499	0,00698	0,00091	
1,5	0,47237	0,40657	0,34994	0,30119	0,25924	0,22313	0,04978	0,01110	0,00248	0,00055	
1,6	0,44933	0,38289	0,32628	0,27804	0,23693	0,20119	0,04076	0,00823	0,00166	0,00033	
1,7	0,42741	0,36059	0,30422	0,25666	0,21654	0,18268	0,03337	0,00609	0,00111	0,00020	
1,8	0,40657	0,33960	0,28365	0,23693	0,19790	0,16530	0,02732	0,00451	0,00074	0,00012	
1,9	0,38674	0,31982	0,26448	0,21871	0,18087	0,14957	0,02237	0,00334	0,00023	0,00074	
2,0	0,36788	0,30119	0,24660	0,20180	0,16530	0,13534	0,00248	0,00033	0,00033	0,00004	

L <sup>μ</sup>	0,6	0,65	0,7	0,75	0,8	0,85	0,9
0,1	0,94176	0,94100	0,93239	0,92841	0,92312	0,91780	0,91393
0,2	0,88692	0,87810	0,86936	0,86071	0,85214	0,84366	0,83527
0,3	0,83527	0,82310	0,81058	0,79982	0,78663	0,77322	0,76338
0,4	0,78663	0,77105	0,75578	0,74082	0,72615	0,71177	0,69768
0,5	0,74082	0,73222	0,70469	0,69092	0,67032	0,65713	0,63763
0,6	0,69768	0,67706	0,65705	0,63763	0,61878	0,60050	0,58275
0,7	0,65705	0,63223	0,61263	0,59811	0,57121	0,54984	0,53259
0,8	0,61878	0,59452	0,57121	0,54881	0,52729	0,50662	0,48675
0,9	0,58275	0,55205	0,53259	0,49228	0,46675	0,44231	0,44486
1,0	0,54881	0,52205	0,49659	0,47237	0,44933	0,42741	0,40657
1,2	0,30119	0,27253	0,24660	0,28313	0,20190	0,18268	0,16530
1,3	0,16530	0,14227	0,12246	0,10540	0,09071	0,07808	0,06720
1,4	0,09071	0,07427	0,06081	0,04978	0,04760	0,03337	0,02732
1,5	0,04978	0,03877	0,03019	0,02352	0,01831	0,01426	0,01111
1,6	0,02732	0,02024	0,01499	0,01111	0,00823	0,00609	0,00451
1,7	0,01499	0,01056	0,00744	0,00525	0,00369	0,00260	0,00183
1,8	0,00823	0,00551	0,00369	0,00248	0,00166	0,00111	0,00074
1,9	0,00451	0,00288	0,00183	0,00117	0,00074	0,00032	0,00021
1,0	0,00247	0,00150	0,00092	0,00055	0,00033	0,00020	0,00012



Rámeček pro zápis poznámek

VŠST Liberec

Fakulta textilní

Studie výskytu vnějších  
vad na tkanině

Katedra M V

DP 61

5. ZÁVĚR

VŠST Liberec	Studie výskytu vnějších vad na tkanině	Katedra M V
Fakulta textilní		DP 62

Výpočty ukázaly, že teoretické rozdělení v žádném případě nesouhlasí s rozdělením empirickým. Při vlastním výpočtu se již ukázalo, ve kterém místě je rozdíl mezi rozděleními velký a kde tedy narůstá chyba, která zkresluje celé měření.

Srovnáním dvou grafů, kde je jednak znázorněna empirická četnost výskytu chyb na jednotku délky a jednak teoretická četnost výskytu chyb dojdeme k závěru, že největší rozdíl vzniká v oblasti velmi krátkých, ale hlavně velmi dlouhých délek. Zdá se, že toto kolísání je způsobeno nestejnou délkou jednotlivých kusů tkanin. Tato délka není stanovena normou přesně, ale je deklarována pouze informativní hodnota.

Pro optimální vyřešení problému vedou obecně dvě cesty. Jedna by mohla využít přesně deklarované délky kusu, čímž by se vyloučil vliv délky, způsobující odchylku od teoretického rozdělení chyb, druhá pak by na základě znalosti příčiny negativního vlivu tento vliv mohla záměrně vyloučit.

Zbývá ještě navrhnut způsob využití znalosti rozdělení chyb ve stříhárně oděvního průmyslu. Zde je nutno najít optimum délky a kombinace položení střihových součástí vzhledem na pravděpodobnost výskytu chyb na této délce. Pravděpodobnost výskytu chyb se zmenšující se délkou položení klesá, avšak neúměrně roste procento odpadu a klesá též výkonnost střihárny. Je proto nutno nalézt mezi těmito protikladnými vlivy optimum.

VŠST Liberec	Studie výskytu vnějších vad na tkanině	Katedra M V
Fakulta textilní		DP 64

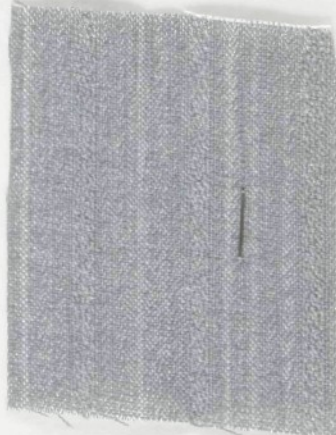
## 6. Seznam použité literatury

1. G.Härtler : Beziehungen zwischen der Fehleranzahl in Geweben und der Anzahl fehlerfreier Lagen beim Zuschnitt in der Konfektion.  
DTT 1965

2. Přednášky : Statistické metody v textilním průmyslu.

V Z O R K O V N I C E   T K A N I N Y

Obchodní název Jonel



## V ZORKOVNICE TKANINY

Obchodní název Jerome

